

Жолудев Д.С., Бердников Р.Б., Григорьев С.С.

Экспериментальное изучение токсических свойств нового стоматологического материала на основе оксида алюминия

ГБОУ ВПО Уральский государственный медицинский университет Минздрава России, г. Екатеринбург

Zholudev D.S., Berdnikov R.B., Grigoryev S.S.

Experimental study of the toxic properties of naivotnyh new dental material based on oxide alumina

Резюме

В статье представлены данные экспериментального исследования нового стоматологического материала оксид алюминия, полученного методом плазменного напыления. Эксперимент выполнен на большой группе лабораторных животных (крысы линии «Vistar»), с проведением подробного изучения поведенческих реакций животных на введенный материал, гематологических, биохимических показателей крови. Выполнены морфологические исследования слюнных желез и глубоких слоев кожи животных в местах непосредственного подшивания исследуемого материала.

Ключевые слова: оксид алюминия, слюнная железа

Summary

The article presents the experimental study of a new dental material based on oxide alumina obtained by plasma spraying. The experiment was performed on a large group of laboratory animals (rat line «Vistar»), with making a detailed study on the behavioral responses of animals on the injected material, hematological, biochemical parameters of blood. Were executed morphological studies of the salivary glands and the deep layers of the skin of animals in the field of direct suturing of the test material.

Key words: oxide alumina, salivary gland

Введение

В настоящее время широкое распространение в практике ортопедической стоматологии получило эстетическое направление. Ранее используемые методы протезирования с применением керамических масс нанесенных на сплавы металлов (кобальто-хромовый и хромо-никелевые сплавы) имеют ряд недостатков. В ряде случаев имеет место проявление непереносимости сплава металлов у пациентов с отягощенным аллергическим анамнезом. Большие сложности выявляются при работе с пациентами, нуждающимися в восстановлении дефектов твердых тканей или замещении ранее удаленного зуба в переднем отделе. Чаще всего это связано с высокими эстетическими требованиями пациентов. Одним из решений поставленных задач явилось создание и применение в качестве опоры под несущие конструкции керамических реставраций диоксида циркония [1]. Безусловно, этому есть свое объяснение, так как, данный материал обладает удовлетворительными прочностными свойствами и является химически инертным. Помимо этого он легко поддается обработке алмазным инструментом на 3D-обрабатывающих центрах, что делает возможным использование CAD – CAM технологии в ортопедической

стоматологии. К недостаткам диоксида циркония следует отнести низкую когезионную прочность соединения с облицовочным слоем керамики, что является причиной появления на поверхности готовой ортопедической конструкции трещин и сколов в процессе её эксплуатации. Имеет место перелома каркаса изготовленного из диоксида циркония при пережевывания пищи, что отражает его недостаточную прочность на изгиб [2,3,4]. Таким образом, данный материал обладает как положительными, так отрицательными свойствами. Это явилось основанием для дальнейших исследований и появлением на стоматологическом рынке нового материала - оксид алюминия. Материал обладает более высокими прочностными свойствами относительно диоксида циркония. Сложность состоит в том, что каркасы на его основе, приготовленная методом порошковой металлургии (прессование с последующим гомогенизационным отжигом), практически не поддается обработке фрезерованием, а нанесение на ее поверхность облицовочного покрытия сопряжено со значительными трудностями. Проблему можно решить, если использовать керамику, полученную методом плазменного напыления. Полученный материал обладает необходимым уровнем прочностных свойств, чтобы выдерживать

обработку алмазным инструментом до гомогенизационного отжига, после которого оксид алюминия становится практически необрабатываемым путем фрезерования. Кроме того, материал, полученный по такой технологии, содержит большое количество пор, что увеличивает когезионную прочность соединения с облицовочным покрытием. Благодаря высокой пористости керамики, полученной методом плазменного напыления, существенно уменьшается изменение объема материала в процессе гомогенизационного отжига [5,6].

Целью нашего исследования явилось подробное изучение токсического воздействия на подлежащие органы и ткани нового стоматологического материала для изготовления ортопедических несъемных конструкций оксида алюминия полученного методом плазменного напыления.

Материалы и методы

Поставленная задача была решена на крысах линии «Vistar» со средней массой 275,0±6,4 г

В группе сравнения и во всех опытных группах проводили исследования на 3, 7, 14, сутки. Всем животным основной группы под эфирным наркозом вводили под околушную слюнную железу испытуемый образец и ушивали рассасывающимся шовным материалом. Поверхностные слои кожи ушивали шовным материалом, выполненным из шелка.

Образцы керамики для исследования вырезали при помощи прецизионного станка с алмазным диском (точность 0,05 мм) под водным орошением. Окончательную доводку их поверхностей проводили на шлифовальной машине с алмазным кругом и имели форму параллелепипеда размерами 3х3х2 мм3 соответственно.

Полученные результаты исследования оценивали по следующим параметрам: реакции поведения, лабораторные методы исследования (клиническое, биохимическое исследование крови), морфологическое исследование слюнных желез, с использованием статистического анализа (программа Statistica -6.0, Statgraph, Квазар)

Результаты и обсуждение

Полученные результаты проведенных исследований свидетельствуют о достоверном увеличении количественных показателей эритроцитов и гематокрита в экспериментальной группе на 7 сутки и достоверной их нормализацией их относительно группы сравнения к 14 суткам (табл. 1).

При определении гемоглобина во всех экспериментальных группах не выявлено достоверных отличий от показателей группы сравнения.

При оценке содержания лейкоцитов периферической крови выявлено достоверное снижение в группах на 3 сутки и в период с 7 по 14 сутки отмечается их увеличение до исходных показателей.

Абсолютное содержание лимфоцитов периферической крови, имело место к увеличению их количества в эксперименте на 7 сутки относительно показателей группы сравнения и достоверное снижение в группе исследования на 3 сутки.

Количество палочкоядерных нейтрофилов с достоверностью снижено относительно показатели группы сравнения в эксперименте на 3 сутки.

Абсолютное содержание сегментоядерных нейтрофилов достоверно превысило показатели группы сравнения в эксперименте на 7 сутки, тогда как в группе на 3 сутки выявлено достоверное снижение показателей.

Показатели абсолютного содержания эозинофилов в эксперименте на 7 сутки, относительно группы сравнения имели место к стойкому их увеличению.

При оценке абсолютного содержания моноцитов выявлено достоверное превышение в группах исследования на 7 сутки, против данных группы сравнения. В группе на 3 сутки эксперимента выявлено достоверное снижение в 4 раза абсолютного содержания моноцитов против данных группы сравнения.

У лабораторных животных выявлено достоверное увеличение СОЭ в 1,8 раза в группе на 3 сутки против показателей группы сравнения. Необходимо отметить, что в эксперименте на 14 сутки большинство показателей

Таблица 1. Результаты исследования крови экспериментальных животных, М ± σ

	Группа сравнения	3 сутки	7 сутки	14 сутки
Эритроциты, 10 ¹² /л	5,78±1,36	5,96±0,21	5,98±0,22*	5,78±0,35
Ht, Об. доля	0,33±0,09	0,31±0,01	0,38±0,01*	0,33±0,09
Hb, г/л	143±25,66	135±2,00	142,4±3,05	145±2,31
СОЭ, мм/ч	4±0,58	7±1,21*	5±2,54*	4±0,19*
Лейкоциты, 10 ⁹ /л	8,2±1,71	6,01±0,16*	7,81±2,16*	8,2±1,59
Эозинофилы, 10 ⁹ /л	0,09±0,08	0,03±0,02	0,24±0,14*	0,09±0,09
Нейтрофилы палочкоядерные, 10 ⁹ /л	0,08±0,06	0,03±0,02	0,6±0,09	0,8±0,06*
Нейтрофилы сегментоядерные, 10 ⁹ /л	1,59±0,38	1,09±0,06	1,92±0,54*	1,37±0,64*
Лимфоциты, 10 ⁹ /л	6,17±1,35	1,79±0,1*	8,99±1,46*	5,3±1,91
Моноциты, 10 ⁹ /л	0,23±0,09	0,06±0,08*	0,53±0,26*	0,27±0,14

* - статистически значимые отличия с группой сравнения, $p < 0,05$

Таблица 2. Результаты биохимического исследования сыворотки крови экспериментальных животных ($M \pm \sigma$)

	Группа сравнения	3 сутки	7 сутки	14 сутки
Белок, г/л	77,29± 1,6	74,86± 0,9*	70,71± 1,11*	73,86± 2,41*
Альбумин, г/л	36,69± 2,72	28,08± 0,48*	31,26± 0,8*	32,33± 0,84*
АСТ, U/л	203,13±26,5	265,86±11,9*	237,9±11,96*	202,57±7,3
АЛТ, U/л	177,64±13,94	206,14±7,13*	181,7± 8,8*	174,91±12,9*

* - статистически значимые отличия с группой сравнения, $p < 0,05$

стало соответствовать норме или имело место тенденции к ее приближению.

У лабораторных животных при проведении биохимических исследований выявлены достоверные отклонения от показателей группы сравнения (табл. 2).

Количество общего белка достоверно снижено во все сроки эксперимента, и наибольшее снижение показателей выявлено на 7 сутки наблюдения. Концентрация альбумина достоверно снижена во все сроки наблюдения.

Анализируя полученные результаты, сделано заключение: достоверное увеличение АСТ у лабораторных животных в эксперименте на 3 сутки против данных группы сравнения, при этом в последующие сроки наблюдения и в частности на 7 сутки выявлено снижение количества АСТ и к 14 суткам концентрация его соответствовала показателям группы сравнения. Похожую картину мы наблюдаем при анализе показателей количества АЛТ против группы данных сравнения, когда в группе наблюдения на 3 сутки выявлено достоверное увеличение.

В проведенном исследовании поведенческие реакции оценивали по пяти параметрам, которые характеризуют и определяют степень активности и взаимодействия корковых, подкорковых, мозжечковых и стволовых структур мозга крыс сформированных филогенетически в виде устойчивой адаптивной системы как инстинкт самосохранения (табл. 3). Время ухода животных с центрального круга достоверно увеличилось к концу первой недели эксперимента и самое медленное покидание животными центра круга наблюдалось на 3 сутки.

Увеличение времени нахождения животного в круге можно расценить как состояние заторможенности дви-

гательных реакций, и увеличение латентной реакции на раздражение двигательных центров мозга в результате хронической интоксикации.

Рефлекторное угнетение двигательных реакций обусловлено высокой чувствительностью нервной системы к любым повреждающим воздействиям.

Квадраты – количество передвижений по квадрату за 3 минуты – характеризует координацию действий, двигательную и мышечную активность, т.е. функциональные возможности мозжечка, корковых и подкорковых структур, а, прежде всего афферентно-эфферентных связей нервной системы.

Количество пройденных квадратов во всех экспериментальных группах было достоверно снижено. Наибольшее снижение пройденных квадратов выявлено в группе на 3 сутки.

Отмечается достоверное снижение количества пересечения животным квадратов за 3 минуты, против исследований в группе сравнения в 2,8 раза (8 против 21,8). Полученные результаты позволяют предположить увеличение латентного периода на раздражение у животных с замедлением целенаправленной двигательной активности и ухудшения координации у крыс в связи с нарушением корково-подкорковых и мозжечковых связей и угнетения двигательных центров нервной системы.

Вертикальная активность не отличалась от показателей группы сравнения.

Безусловно-рефлекторное, поведение экспериментальных животных на первой неделе наблюдения достоверно изменилось с урежением частоты стереотипных «умываний» относительно группы сравнения. Следо-

Таблица 3. Оценка двигательных-поведенческих реакций животных в «открытом поле» ($M \pm \sigma$)

	Группа сравнения	3 сутки	7 сутки	14 сутки
Уход с поля Центр круга (сек)	1,57±0,79	4,43±1,4*	2,43±1,51*	1,86±2,61*
Квадраты Количество (3мин)	21,71±6,13	8,29±3,73*	12,14±1,86*	20,71±2,43*
Вставание Количество (3мин)	5,71±2,06	4,71±2,06	4,86±1,57	5,0±0,82*
Умывание Количество (3мин)	4,0±0,82	2,14±1,68	3,29±1,89*	4,14±0,9*
Заглядывание Количество (3мин)	4,7±1,6	2,14±1,46*	3,57±2,15*	5,0±1,15*

* - статистически значимые отличия с группой сравнения, $p < 0,05$

вательно, эволюционно сформированная модель двигательных автоматизмов поведения животных подвержена воздействию к изменяющимся условиям внешней среды, патогенных микроорганизмов и иммунопатологическим повреждениям нервной системы.

Инстинкт самосохранения и обнаружения опасности в поведении животного оцениваемого по количеству заглядываний угасает уже к 3-м суткам проводимого исследования. Это подтверждается достоверным снижением частоты заглядываний животных во всех экспериментальных группах в состоянии иммунного воспаления, что характеризует высокую чувствительность нервной системы с повреждением афферентно-эфферентных связей к воздействию хронического воспаления, что способствует ухудшению адаптации в предлагаемых условиях.

Проведенные морфологические исследования околушных слюнных желез крыс (орган мишень) и глубокие слои кожи выявили ряд изменений относительно контрольной группы (рис. 1 - 2).

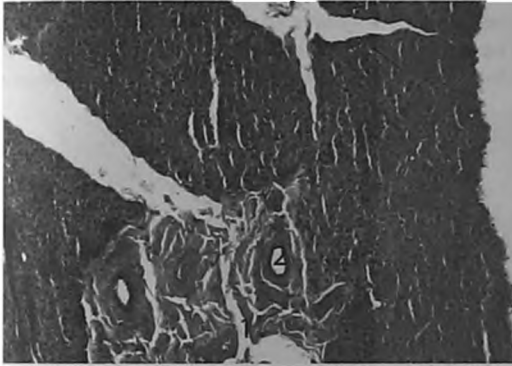


Рис.1. Околоушная слюнная железа крысы. Окраска гематоксилином и эозином. Ув. x 100. Контроль. 1.Интерстициальный склероз 2. Междольковый проток

В железе определен интерстициальные склероз (1) слабо выраженный. Междольковый проток (2) в норме.

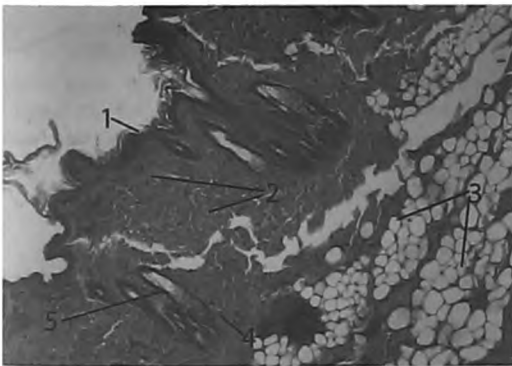


Рис.2. Кожа. Окраска гематоксилином и эозином. Ув. x 100. Контроль. Эпидермис (1), дерма (2), подкожно-жировая клетчатка (3), сальные железы (4), волосяной фолликул (5)



Рис.3. Глубокие отделы кожи крысы на 3 сутки. Окраска гематоксилином и эозином. Ув. x 400. 1. Жировая ткань 2. круглоклеточный инфильтрат (лимфоцитарно-гистиоцитарный 3. Мышца.

В глубоких слоях кожи определен круглоклеточный инфильтрат (лимфоцитарно-гистиоцитарный).

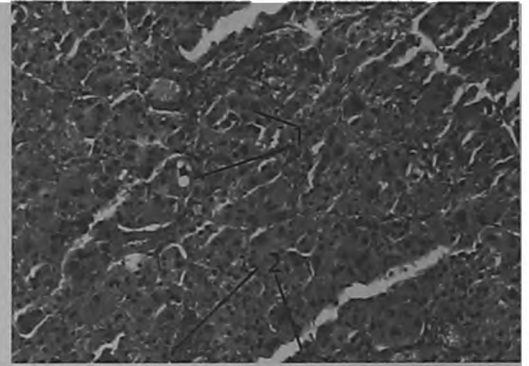


Рис.4. Околоушная слюнная железа крысы на 3-е сутки. Окраска гематоксилином и эозином. Ув. x 400. 1. Слабо выраженная диспропорция мукоцита 2. Слабо выраженный периваскулярный инфильтрат

На 3 сутки в железе выявлен слабо выраженный периваскулярный инфильтрат (2) на фоне слабо выраженной дистрофии мукоцитов (1).

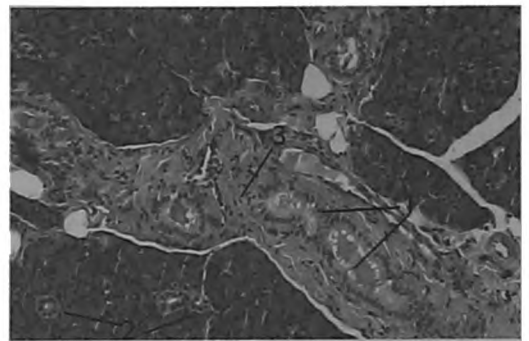


Рис.5. Околоушная слюнная железа крысы на 7 сутки. Окраска гематоксилином и эозином. Ув. x 100. 1. Междольковые протоки 2. Вставочные протоки 3. Лимфоциты (слабое воспаление)

На 7 сутки в ткани железы выявлен слабо выраженный интерстициальный склероз. Вокруг междольковых протоков (1) определяется небольшое скопление лимфоцитов (3). Добавочные протоки практически не претерпели ни каких изменений(2).

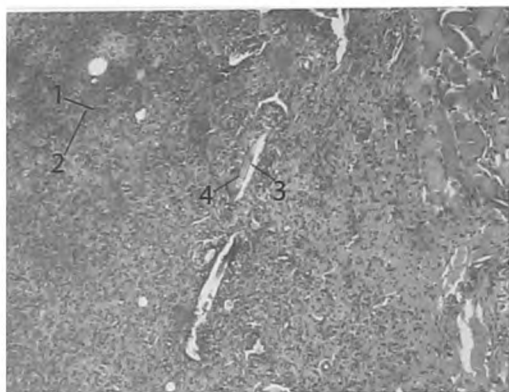


Рис.6. Глубокие отделы кожи крысы на 7 сутки. Окраска гематоксилином и эозином. Ув. х 100.
1.Эпителиоидные клетки 2. Макрофаги. 3. Стержень волоса 4. Гигантская клетка типа инородных тел

Совершенно другую картину мы выявили в процессе изучения глубоких слоев кожи, где четко определено продуктивно-гнойное воспаление. Связано это с тем, что в процессе проведения эксперимента, мы намеренно подшивали волоски с кожи животного под кожу с целью активации воспалительного процесса. В препарате выявлено скопление макрофагов (2)

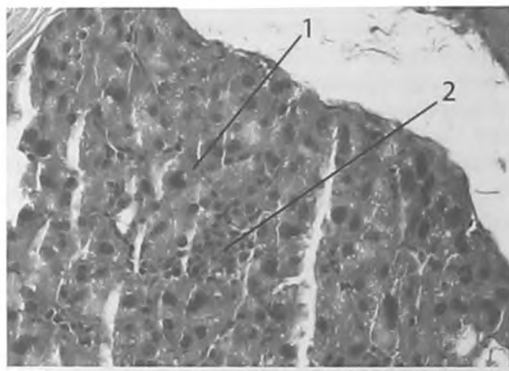


Рис.7. Околоушная слюнная железа крысы на 7 сутки. Окраска гематоксилином и эозином. Ув. х 400.
1.Гиперхромное ядро (ответ на воспаление) 2. Слабовыраженный инфильтрат (лимфоциты, макрофаги)

При большем увеличении паренхимы слюнной железы в микропрепарате определяется гиперхромное ядро (1), что явилось ответной реакцией на воспаление, а также слабо выраженный лимфоцитарно-макрофагальный инфильтрат(2).

На 14 сутки морфологических изменений мы не выявили. Слюнная железа пришла в норму. Отсутствует

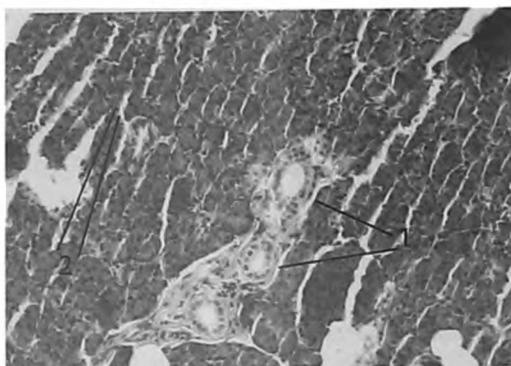


Рис.8. Околоушная слюнная железа крысы на 14 сутки. Окраска гематоксилином и эозином. Ув. х 100.
1.Протоки слюнных желез 2. Секреторные отделы слюнной железы (мукоциты, сероциты. Ядра все одного размера)

воспаление в железе. Морфологическая картина микропрепарата соответствует контрольному микропрепарату. Определяются хорошо выраженные протоки железы (1). Секреторные отделы (2). Ядра все одинакового размера.

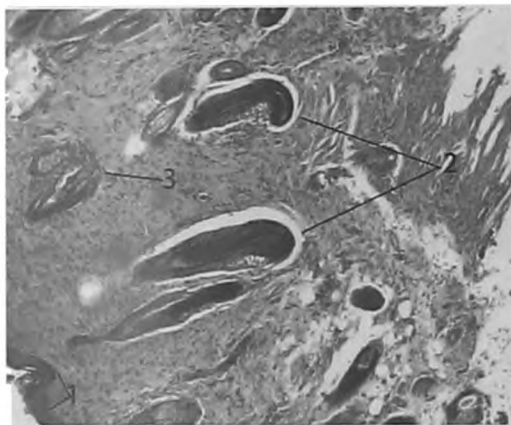


Рис.9. Глубокие отделы кожи крысы на 14 сутки. Окраска гематоксилином и эозином. Ув. х 400.
1.Эпидермис 2. Волос. 3. Сальная железа

Примерно такую же картину мы выявили при изучении микропрепаратов глубоких слоев кожи. При наличии инородного тела (2) отсутствует реакция как со стороны поверхностных слоев (1), так и сальных желез (3) и более глубоких слоев.

Заключение

Полученные данные позволяют сделать следующее заключение:

Согласно проведенной оценке результатов по клиническим, биохимическим и иммунологическим показателям крови, по всем параметрам реакций поведения и морфологическому исследованию слюнных желез с использованием статистического анализа определена биологическая инертность исследуемого материала.■

Жолудев Д.С. - очный аспирант кафедры пропедевтики и физиотерапии стоматологических заболеваний УГМУ, г. Екатеринбург; *Бердников Р.Б.* к.м.н., доцент кафедры патологической анатомии УГМУ, г. Екатеринбург; *Григорьев С.С.* д.м.н., доцент кафедры пропедевтики и физиотерапии стоматологических заболеваний УГМУ, г. Екатеринбург; Автор, ответственный за переписку - Жолудев Д.С., zholudevds@mail.ru

Литература:

1. Ceramics Overview: Classification by Microstructure and Processing Methods. Russel Giordano, DMD, CAGS, DMSc; and Edward A. McLaren, DDS, MDC - Compendium, November/December 2010- P. 120-123.
2. Della Bona, Kelly JR. The clinical success of all-ceramic restorations// J. Am. Dent. Assoc. - 2008; vol. - 139(suppl);P8-13.
3. Raigrodski A.J., Chiche G.J., Potiket N. The efficacy of posterior three-unit zirconium-oxide-based ceramic fixed partial dental prostheses: A prospective clinical pilot study// J. Prosthet. Dent. - 2006- vol. - 96(4). - P:237-244.
4. Tan S.C., Chai J., Wozniak W.T., Takahashi Y. Flexural strength of a glass-infiltrated alumina dental ceramic incorporated with silicon carbide whiskers// Int. J. Prosthodont. - 2001. - vol 14. - P:350—354.
5. Hegenbarth EA. Procera aluminum oxide ceramics: a new way to achieve stability, precision, and esthetics in all-ceramic restorations// Quintessence Dent. Technol. -1996.-vol. -20. - P:21-34.
6. Christensen R.P., Eriksson K.A., Ploeger B. J. Clinical performance of PFM, zirconia, and alumina three-unit posterior prostheses [abstract]. http://iadr.confex.com/iadr/2008Toronto/techprogram/abstract_105962.htm// Accessed June 6, 2010.
7. ГОСТ 31571 - 2012: Крамика стоматологическая. Технические требования. Методы испытаний.// (ISO 6872:1995, NEQ) Издание официальное Москва Стандартиформ. - 2013